

電力中央研究所 正会員 ○ 石 橋 敏
機 部 明 久

1. 概要

排砂路コンクリート浸食の主要原因を躍動して流下する砂礫が水路床に衝突する際の衝撃力をし、室内実験による衝撃力の測定から、衝突する砂礫の総運動エネルギーを流れの掃流力の因数として求め計算方法を考案した。

上記の計算方法とコンクリート衝撃試験の結果による衝突粒子の運動エネルギーと損傷量の関係を実物の排砂路に適用し、排砂路損傷量の実測値と計算値を比較し計算方法の適合性について検討したものである。

2. 実験の概要および測定方法

断面 0.20×0.20^m 、長さ 3m のアスチック製直線水路に、流量および流下礫の粒径を種々に変えて実験を行った。衝撃力の測定は測定器受压面が水路床と一致するように取付け行った。衝撃時間が $20ms$ と極めて小さいので、受压面の固有振動数が $60KHz$ 有するピエジ型圧力計を使用した。また衝撃により圧力計に発生した電荷を増中度の高いチャージ増中器(応答周波数 $100KHz$)で増中し、ブラン管オフロスコープで観測して、それをカメラで撮影した。なお実験の範囲は次の通りである。

実験流量 $10 \sim 45l/s$ 、水路勾配 $1:6, 1:24$ 、粒径 $1.25 \sim 20mm$

3. 流水中の礫が水路床に作用する衝撃力

先に述べた実験水路に、流量および流下礫の粒径を種々に変えて実験を行い、礫が水路床に作用する衝撃力を測定した。

実験流量、礫の粒径を一定にした試験条件で 300 波形以上を測定し、その結果を統計的に整理した。衝撃力の頻度分布の一例を示すと図-1の通りである。

各実験について平均衝撃力 \bar{F} を求める次元解析の結果に基づき $\frac{\bar{F}}{W}$ と $\bar{Z}_x = \frac{V_x^2}{W} / (\frac{R_x}{R_0} - 1)gd$ の関係を示すと図-2のじとくなり、それらの関係は(1)式で表わされる。

$$\frac{\bar{F}}{W} = 5.29 \times 10^3 (\bar{Z}_x - 0.0076) \quad \dots \dots \dots (1)$$

ここで \bar{W} は礫粒子の水中平均重量

(1)式は或る特性を有する測定器についての $\frac{\bar{F}}{W}$ と \bar{Z}_x との関係であって $\frac{\bar{F}}{W}$ の値そのものは礫および水路材料の弾性係数 R アソン比によって変化する。

Hertz の弾性接触理論を適用すると、平面に球が衝突するときの球の運動エネルギーと衝撃力との関係は(2)式で表わされる。

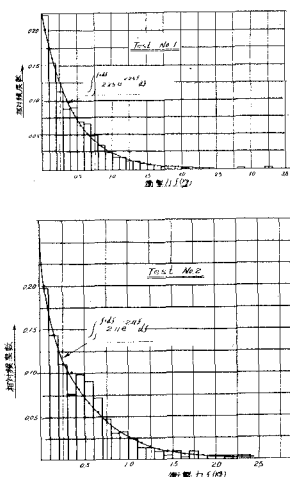


図-1 衝撃力の頻度分布の一例

$$f = \left(\frac{5}{4}\right)^{\frac{3}{5}} \cdot 2^{\frac{3}{5}} \cdot n_1^{\frac{3}{5}} \left(\frac{d}{2}\right)^{1/5} E^{\frac{3}{5}}, \quad \text{たゞし} \quad n_1 = \frac{4}{3 \left(\frac{1+u_1^2}{E_1} + \frac{1+u_2^2}{E_2} \right)} \quad \dots \dots \dots \quad (2)$$

こゝに $E = \frac{m v_0^2}{2}$: 磚の運動エネルギー, m : 磚の質量, v_0 : 磚の衝突時の速度, E_1, E_2 : 各々磚および水路床の弾性係数, u_1, u_2 : 各々磚および水路床のポアソン比

この実験に使用した測定器の $n_1^{\frac{3}{5}}$ の値は 90 であるから一般的には

$$\frac{f}{W} = 58.8 n_1^{\frac{3}{5}} (Z_x - 0.0076) \quad \dots \dots \dots \quad (3)$$

いま、コンクリート水路内を飛躍が流下するものと考え、コンクリートのポアソン比、弾性係数を $u_1 = 0.15$, $E_1 = 3 \times 10^{5} \text{ kg/cm}^2$ とし、流下磚のこれらの値を $u_2 = 0.3$, $E_2 = 4 \times 10^{5} \text{ kg/cm}^2$ とすれば $n_1^{\frac{3}{5}} = 142.49$ となり $\frac{f}{W}$ の値は (4) 式のじとくとなる。

$$\frac{f}{W} = 8.38 \times 10^3 (Z_x - 0.0076) \quad \dots \dots \dots \quad (4)$$

結局水路床に衝突する磚の運動エネルギーは (2) 式と (4) 式から Z_x の関数で求められる。

4. 磚の流下速度

水路床に衝突する磚の終運動エネルギーを求めるためには流れの特性と関連した衝撃力の他に磚の飛距離を明らかにする必要がある。流下磚の飛距離および跳躍高を 16mm の高速度カメラで撮影した (フィルム) により、直接読みとりうとしたけれども、それらの値は小さなものが多く正確な測定が困難であった。そこで磚の平均飛距離は磚の平均流下速度にその平均跳躍時間を乗じて得られるものと仮定した。流水中の磚の運動を高速度カメラにより毎秒 600~700 コマで撮影し、個々の磚の移動速度を求めた。測定した磚の移動速度の頻度分布の一例を示すと図-3 のじとくなりかなりバラッキがある。磚の運動の式は (5) 式で表わされる。

$$V_x - V_0 = \sqrt{\frac{4}{3} \frac{1}{C_d} \left(\frac{P_s}{P_f} - 1 \right) g d \tan \varphi} \quad \dots \dots \dots \quad (5)$$

こゝに V_0 : 磚粒子の速度, P_s : 磚に作用する代表流速とし磚の跳躍高を y_s としたとき水路床よりの高さ $y_s' = (d + y_s)/2$ の平均流速とする。 C_d : 摩擦係数。

一般に排水路内の流れにおいては Reynolds 数が大きく C_d を一定と見なすことができるから (5) 式は (6) 式のじとくなり

$$\frac{V_0}{V_x} = 1 - \frac{A'}{F}, \quad \text{たゞし} \quad A' = \sqrt{\frac{4}{3} \frac{1}{C_d} \left(\frac{P_s}{P_f} - 1 \right) \tan \varphi}, \quad F = \frac{V_x}{\sqrt{g d}} \quad \dots \dots \dots \quad (6)$$

$\frac{V_0}{V_x}$ は $F = \frac{V_x}{\sqrt{g d}}$ の関係で表わされる。測定した V_0 を使用し、かつ C_d の値を 0.34 として $\tan \varphi$ の平均値を求めると 0.388 となる。従つて

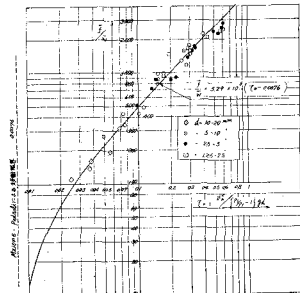


図-2 $\frac{f}{W}$ と Z_x の関係

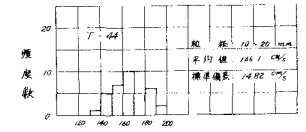
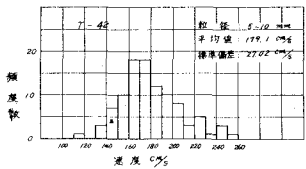


図-3 磚速度頻度分布の一例

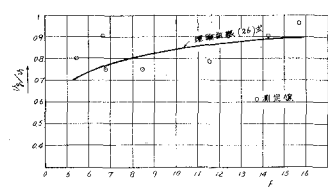


図-4 磚の平均速度

(6)式中の A' の値は1.165となり理論曲線を求めることができる。図-4は理論値と測定値を比較したものである。測定値にはバラツキが見られるが、その傾向は理論曲線上にあり良好な一致を示している。

5. 流下する礫の跳躍時間および飛距離

流下礫の跳躍高は小さいから下降域の礫粒子の沈降速度は限界沈降速度に達せず、静止の状態から加速の途上にあるため、礫の衝突速度としては測定した衝撃力の平均値から(2)式により水路床に作用する礫の平均運動エネルギーを求め、これより礫が水路床に作用する衝突速度の垂直成分 v_{ys} を求めた。しかしながら、礫の跳躍時間としてはこの v_{ys} に達するための跳躍高 y_s を算出し、この間を沈降するに要する時間として求めた。落下高 y_s と沈降速度との関係は

$$y_s = \sqrt{\frac{\beta_1}{\alpha_1} (1 - e^{-\alpha_1 y_s})}, \quad \alpha_1 = C_d \frac{V_d^2 \rho_f d^2}{(m + \frac{m_0}{2})}, \quad \beta_1 = 2 \alpha_1 (P_s - P_f) g d^2 / (m + \frac{m_0}{2}) \quad \dots \dots \dots (7)$$

各粒径について y_s の値を変える y_s の平均流速として $\bar{v}_s = \frac{y_s}{t_s}$ を使用し、 $C_d = \frac{24}{Re} + \frac{3}{\sqrt{Re}} + 0.34$ より C_d の値を求め、この値を(6)式に代入して、礫の跳躍高 y_s を求めた。 y_s/d と t_s の関係を図-5に示す。

また y_s を沈降する間の平均沈降速度 \bar{V}_d は次式で求められ、

$$\bar{V}_d = \int_0^{y_s} v_s dy_s / y_s \quad \dots \dots \dots (8)$$

かつ、礫の上昇域、下降域の軌跡が対称であると仮定すれば、礫の平均跳躍時間 t_s は

$$t_s = 2 \bar{y}_s / \bar{V}_d \quad \dots \dots \dots (9)$$

となる。したがって粒子の平均飛距離を \bar{l}_s で表わせば

$$\bar{l}_s = \bar{V}_d \cdot t_s \quad \dots \dots \dots (10)$$

二、に、 $y_s = \bar{V}_d (1 - \frac{1.565}{F})$, $F = \frac{V_d}{\sqrt{g} d}$, $\bar{V}_d = \bar{V}_s (5.75 \log \frac{\bar{V}_s}{V} + 5.5)$, $\bar{V}_s = \frac{(d_1 y_s)}{2}$ となる。このような方法で各test-No.1について t_s を求めて \bar{l}_s/d の関係で整理した結果を図-6に示す。またそれらの関係は(11)式で表わされる。

$$\bar{l}_s/d = 90 T_s^{1.44} \quad \dots \dots \dots (11)$$

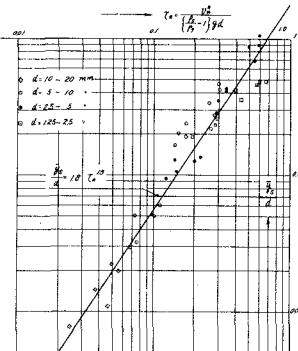


図-5 y_s/d と t_s の関係

6. 水路床に衝突する礫の運動エネルギーの計算方法

コンクリート水路内を粒径 d の礫が n_i の条件で流下するものと考えれば衝撃力 f は(4)式より

$$f = W \times 8.38 \times 10^3 (T_s - 0.0076) \quad \dots \dots \dots (12)$$

で表わされる。礫1個が1回水路床に衝突したときの運動エネルギー、Eは(2)式より

$$E = \frac{m y_s^2}{2} = f^{\frac{5}{3}} / \left(\frac{5}{4} n_i^{3/2} \left(\frac{d}{2} \right)^{1/2} \cdot 2 \right) \quad \dots \dots \dots (13)$$

(13)式のごとくなり、また礫の平均飛距離 \bar{l}_s は(11)式により求められ、礫粒子1箇が或る水路区間 L を流下するときの衝撃回数 N は

$$N = \frac{4L}{\bar{l}_s} \quad \dots \dots \dots (14)$$

となり $1m^3$ の砂礫中に含まれる各粒径別の箇数が判明すれば、 $1m^3$ の礫が流下するときの水路床に衝突する礫の総運動エネルギー E_T は

$$E_T = \sum E_i N_i n_i \quad \dots \dots \dots (15)$$

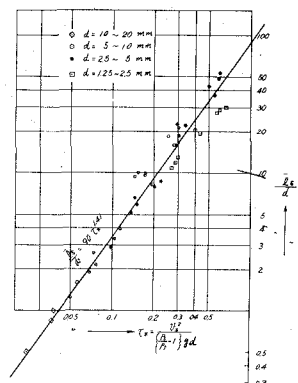


図-6 \bar{l}_s/d と T_s の関係

となる。また終衝突量を V_s とすると水路床に衝突する砾の絶運動エネルギー E は(16)式で表わされる。

$$IE = Ts \sum E_i N_i n_i \dots \dots \dots \dots \dots \dots \quad (16)$$

実際の排水路においては排水路を小区間に細分し、その区間での圧頭を數値計算すればよい。

7. コンクリートの損傷量と運動エネルギーの関係

$\frac{m^2 g^2}{2}$ を E とし、 $\alpha(z-\alpha)=A'_1$ とすると $\Delta E = A'_1 E$ となる。また損傷量 V_C は $V_C = B'_1 A'_1 \Sigma E$ で表えられるものとする。 B'_1 は材料の種類、強度によって定まる損傷係数、 $A'_1 B'_1 = 1/C'$ とおくと

C'_1 は kg/m^2 の次元を有し、その値が判明すれば、損傷量と総運動エネルギーの関係が求まる。前述の村野、川崎の試験結果を使用して排水路のコンクリートに相当する C'_1 の値を推定すると $8.52 \times 10^{6.07} \text{ m}^2$ となる。

8. 現地有砂路(=適用した場合)の損傷量の検討結果

現地元の適用については黒部川木糸仙人谷ダムと小屋平ダムの左右両岸にあり4排砂路について行った。排砂路の概要およびその調査結果を次表に示す。

表-1 損傷量の検討結果

		仙人谷ダム		小屋平ダム	
		左岸	右岸	左岸	右岸
排水路の概要	長さ	90.0	56.3	66.7	50.0
	巾	4.0	4.0	7.0~3.5	3.5
	勾配	1:8	1:8.5	1:20.6	1:2
検討期間		34.7.2 ~41.7.12	34.12.29 ~39.5.18	33.11.16 ~37.9.2	28.5.24 ~41.10.22
土砂流出量 m^3		2.21×10^5	9.18×10^4	4.38×10^5	1.58×10^6
礫の総運動エネルギー $(kg \cdot m)$		1.346×10^{10}	3.22×10^9	5.54×10^9	2.31×10^{10}
損傷量の実測値 (m^3)		2353	275	859	2755
損傷量の計算値 (m^3)		1574	377	648	2700
計算値/実測値		0.63	1.37	0.76	0.98

九 結語

以上のじく排砂路の損傷量の計算値と実測値は比較的良好な一致を示し、損傷現象を水路床に衝突する砾の總運動エネルギーで論じ得る可能性があるものと考えられる。

最後に、本研究に当り種々御指導戴いた電研、河川水理研究室長安芸周一博士、および現地調査、資料収集に所要宣を戴きまつた関西電力株式会社の担当者の方々に厚く謝意を表します。